



第二十讲

应用拉普拉斯变换研究 线性时不变系统

杜清河
西安交通大学
信息与通信工程学院
2025

本讲覆盖章节



❖ 9.4

❖ 9.7

❖ 9.8

内容提要



- ❖ 零极点图及其应用
- ❖ 系统函数与LTI系统的变换域分析
- ❖ LTI系统的方框图实现

内容提要

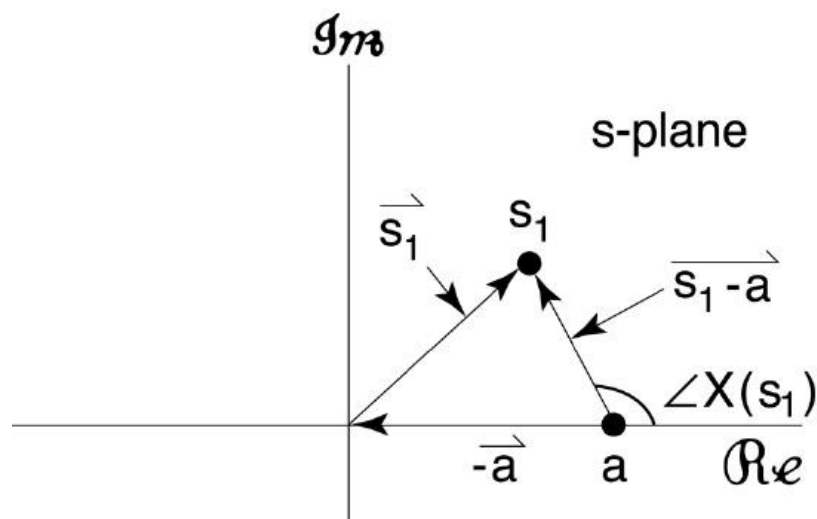


- ❖ 零极点图及其应用
- ❖ 系统函数与LTI系统的变换域分析
- ❖ LTI系统的方框图实现

有理拉普拉斯变换的几何求值法



➤ 单一零点的情况 $X_1(s) = s - a$



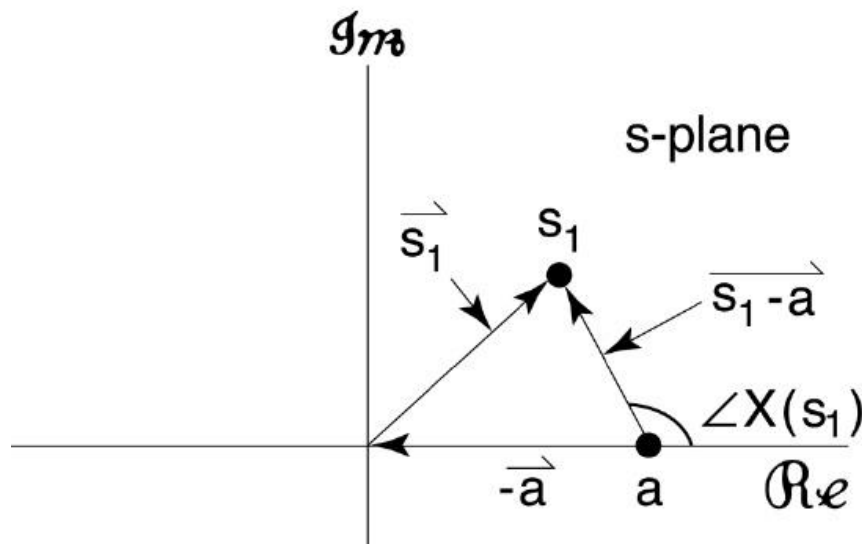
$|X_1(s)|$: 零点向量的长度

$\angle X_1(s)$: 零点向量与实轴的夹角

有理拉普拉斯变换的几何求值法



➤ 单一极点的情况 $X_2(s) = \frac{1}{s-a} = \frac{1}{X_1(s)}$



$|X_2(s)|$: 极点向量长度的倒数

$\angle X_2(s)$: 极点向量与实轴夹角的负值

有理拉普拉斯变换的几何求值法



➤ 一般情况

高阶的有理拉普拉斯变换：

$$X(s) = M \frac{\prod_{i=1}^R (s - \beta_i)}{\prod_{j=1}^P (s - \alpha_j)}$$

对这一信号，有：

$$|X(s)| = |M| \frac{\prod_{i=1}^R |s - \beta_i|}{\prod_{j=1}^P |s - \alpha_j|}$$

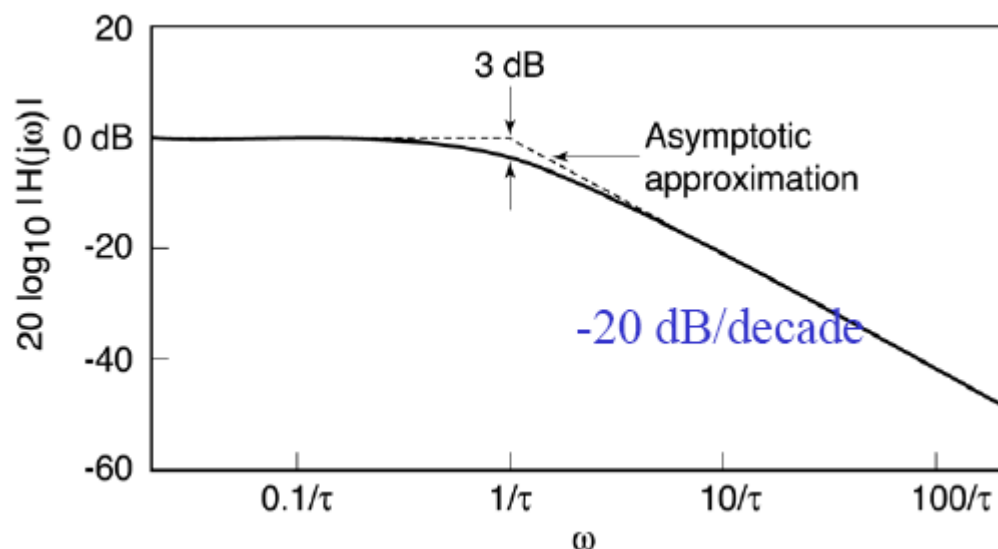
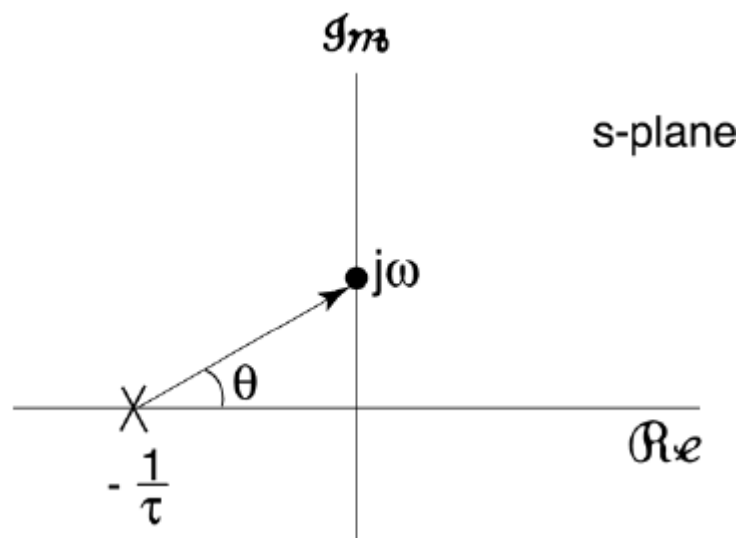
$$\angle X(s) = \angle M + \sum_{i=1}^R \angle(s - \beta_i) - \sum_{j=1}^P \angle(s - \alpha_j)$$



利用零极点图分析一阶系统

$$h(t) = \frac{1}{\tau} e^{-t/\tau} u(t) \quad \Rightarrow \quad H(s) = \frac{1}{s\tau + 1} = \frac{1/\tau}{s + 1/\tau}, \Re\{s\} > -\frac{1}{\tau}$$

$$H(j\omega) = \frac{1/\tau}{j\omega + 1/\tau} = \frac{1}{\tau} \cdot \frac{1}{j\omega + 1/\tau} \quad s(t) = [1 - e^{-t/\tau}] u(t)$$

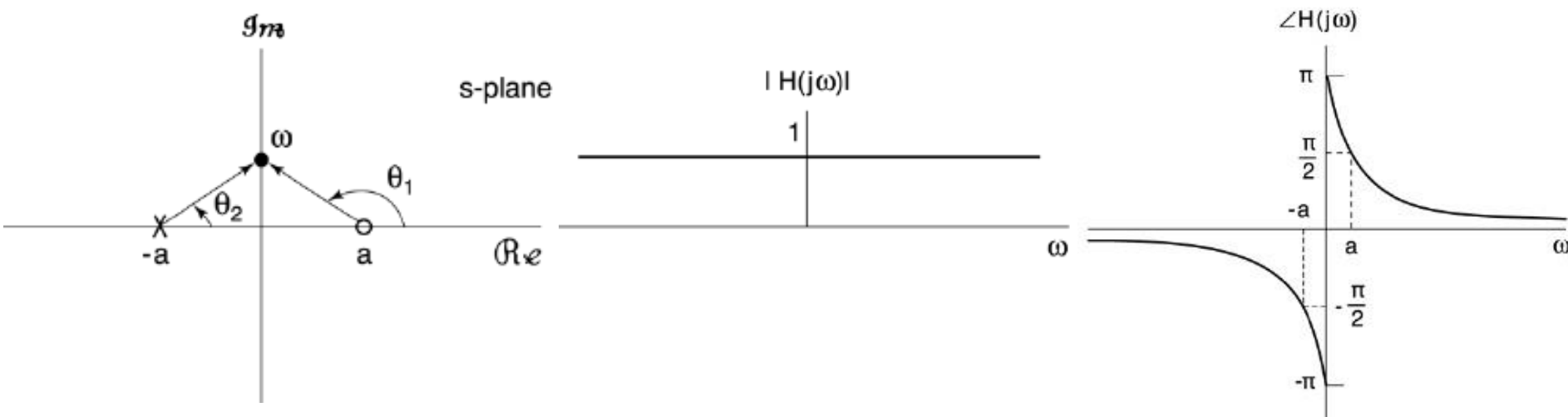




利用零极点图分析全通系统

一阶全通系统：

$$H(s) = \frac{s - a}{s + a}$$



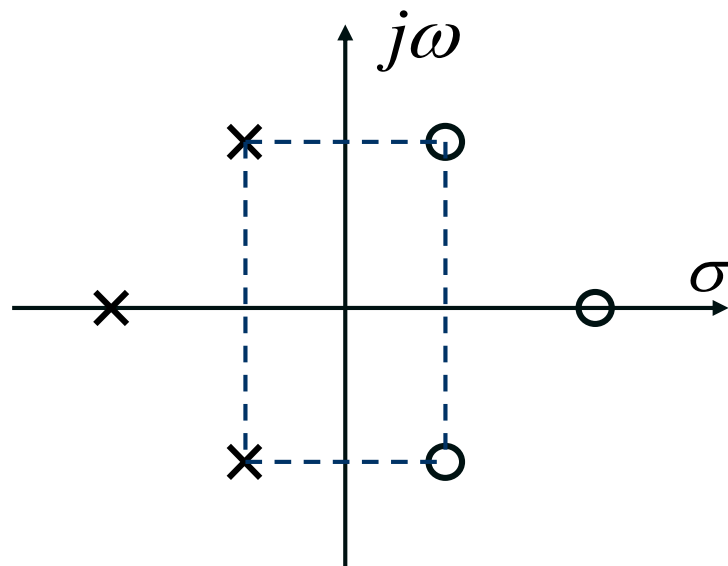
极点向量和零点向量长度相等，故 $|H(j\omega)|=1$.

$$\angle H(j\omega) = \theta_1 - \theta_2 = \pi - 2\theta_2 = \begin{cases} \pi, & \omega = 0 \\ \pi/2, & \omega = a \\ \approx 0, & \omega \gg a \end{cases}$$

利用零极点图分析全通系统



高阶全通系统的例子：



三阶全通系统

内容提要



- ❖ 零极点图及其应用
- ❖ 系统函数与LTI系统的变换域分析
- ❖ LTI系统的方框图实现

系统函数



- 拉普拉斯变换的重要应用之一是对LTI系统的分析与表征
- 对于LTI系统，输入和输出的拉普拉斯变换之间具有如下关系： $Y(s)=H(s)X(s)$
- $H(s)$ 称为系统函数或转移函数
- LTI系统的很多性质都与系统函数在 s 平面内的特性密切相关

一个因果LTI系统的系统函数的ROC是某个右半平面

对于一个具有有理系统函数的LTI系统来说，系统的因果性就等价于系统函数的ROC位于最右边极点的右边的右半平面

为什么？

当且仅当系统函数的ROC包括整个 $j\omega$ 轴，
一个LTI系统就是稳定的

当且仅当 $H(s)$ 的全部极点都位于 s 平面的
左半平面时，一个具有有理系统函数的
因果系统才是稳定的

LTI系统的变换域分析举例



例1: 假定关于某个LTI系统已知下列信息:

1. 系统是因果的。
 2. 系统函数是有理的, 且仅有两个极点在 $s=-2$ 和 $s=4$ 。
 3. 若 $x(t)=1$, 则 $y(t)=0$ 。
 4. 单位冲激响应在 $t=0^+$ 时的值是4。
- 根据以上信息确定系统的系统函数。

LTI系统的变换域分析举例



根据第2条，系统函数应具有如下形式：

$$H(s) = \frac{p(s)}{(s+2)(s-4)} = \frac{p(s)}{s^2 - 2s - 8}$$

根据第3条应有 $H(0)=0$ ，即：

$$p(s) = sq(s)$$

根据第4条并结合初值定理，可得：

$$x(0^+) = \lim_{s \rightarrow \infty} sH(s) = \lim_{s \rightarrow \infty} \frac{s^2 q(s)}{s^2 - 2s - 8} = 4$$

LTI系统的变换域分析举例



$$x(0^+) = \lim_{s \rightarrow \infty} sH(s) = \lim_{s \rightarrow \infty} \frac{s^2 q(s)}{s^2 - 2s - 8} = 4$$

上式表明，分子和分母应为同阶次，即：

$$q(s) = K$$

常数 K 可以通过如下的方法求得：

$$\lim_{s \rightarrow \infty} \frac{Ks^2}{s^2 - 2s - 8} = \lim_{s \rightarrow \infty} \frac{Ks^2}{s^2} = K \quad \Rightarrow \quad K = 4$$

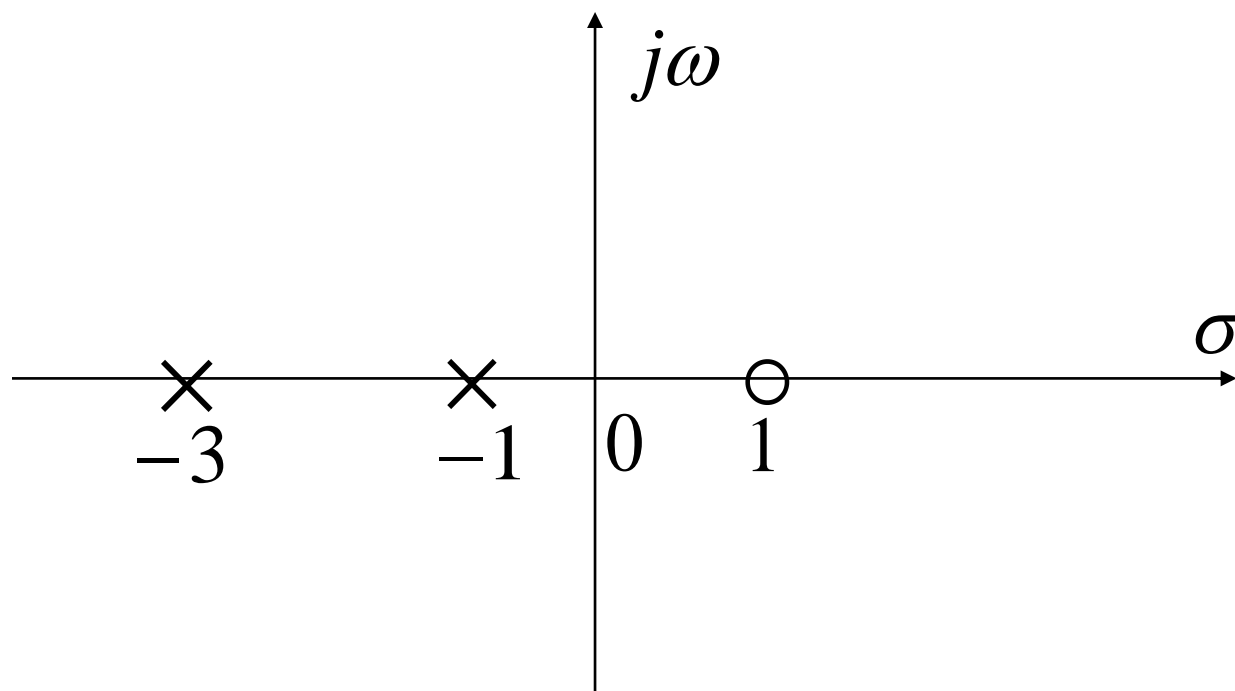
所以系统函数为：
$$H(s) = \frac{4s}{(s+2)(s-4)}$$

根据第1条可得收敛域为： $\Re\{s\} > 4$

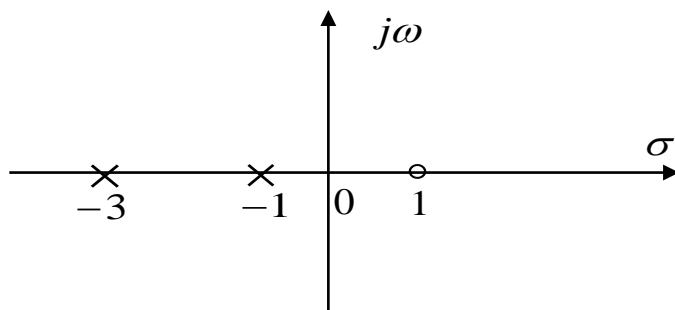
LTI系统的变换域分析举例



例2：下图所示的零极点图确定了一个具有有理系统函数的LTI系统，该系统在输入信号为 e^{2t} 时，系统的输出为 e^{2t} 。



LTI系统的变换域分析举例



(1) 确定系统的系统函数表达式 $H(s)$

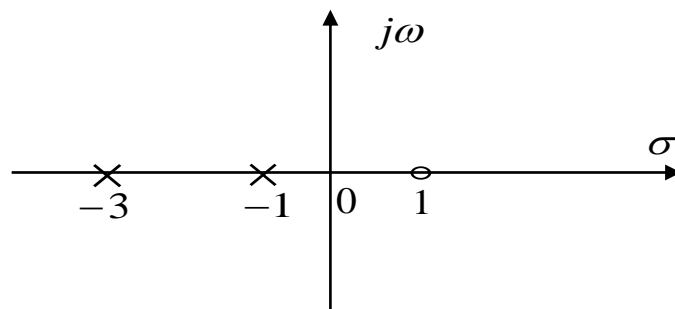
根据零极点图，假设系统函数具有如下形式：

$$H(s) = K \frac{s-1}{(s+3)(s+1)}$$

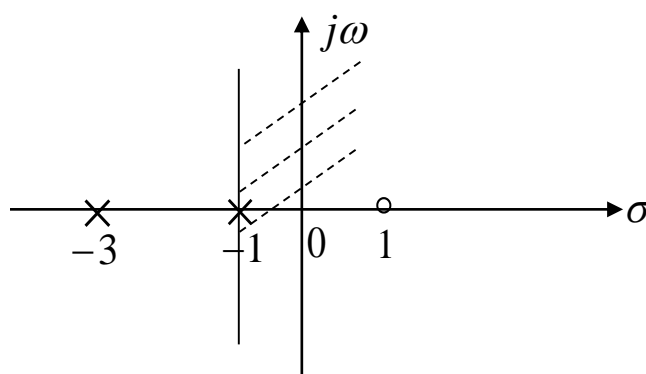
$$e^{2t} * h(t) = e^{2t} \Rightarrow H(2) = 1 \Rightarrow K = 15$$

$$H(s) = 15 \frac{s-1}{(s+3)(s+1)}$$

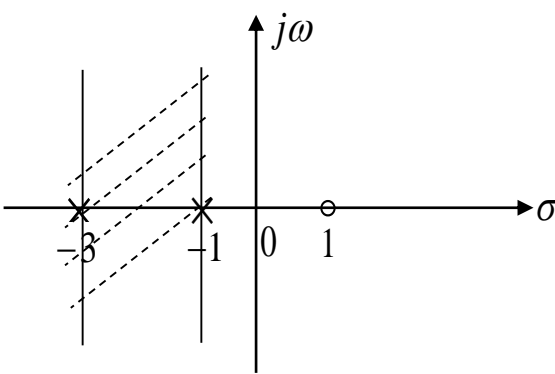
LTI系统的变换域分析举例



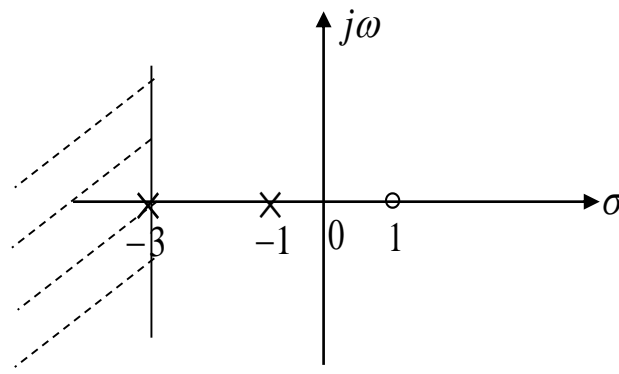
(2) 确定该零极点图所对应的可能的收敛域，并指出每种情况下系统的因果、稳定性。



(a) 因果稳定系统

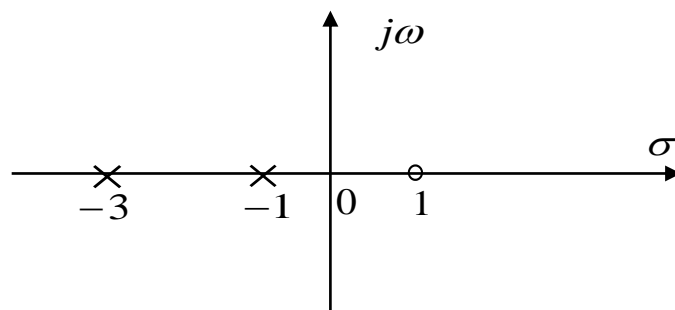


(b) 非因果非稳定系统



(c) 非因果非稳定系统

LTI系统的变换域分析举例



(3) 若由该图所确定的系统是因果稳定的，求出其逆系统的系统函数，该逆系统是因果稳定的吗？为什么？

$$H_1(s) = \frac{(s+3)(s+1)}{15(s-1)}$$

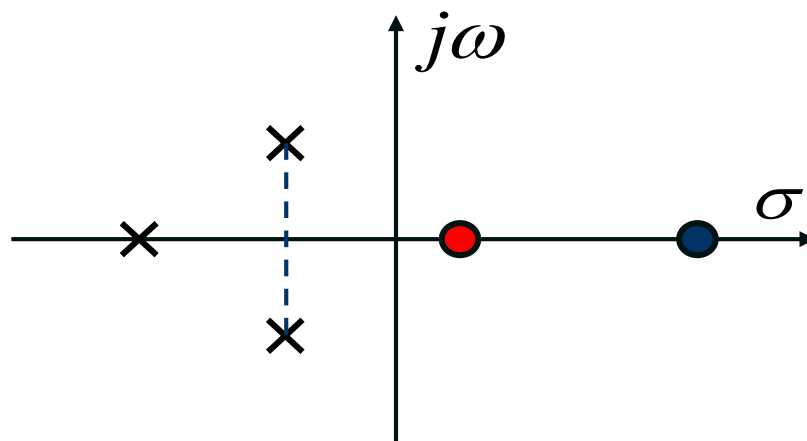
该逆系统不可能为因果稳定的系统，原因是其有极点在右半平面。



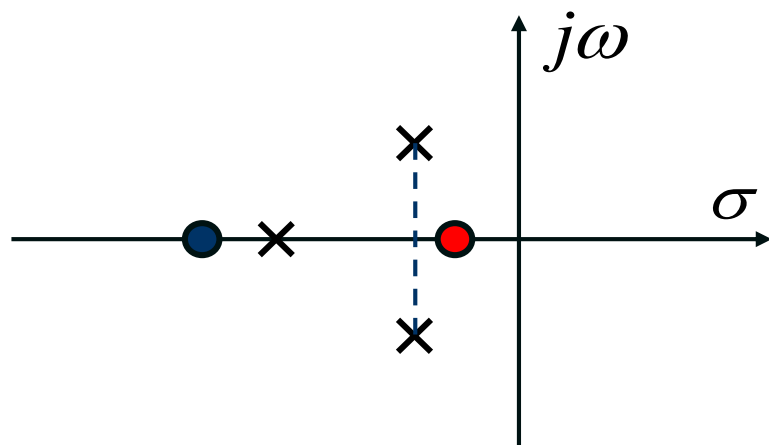
最小相位系统

- 最小相位系统可以通过这一说法来定义：这些系统是因果的且是稳定的，而它们的逆系统也是因果和稳定的。
- 最小相位系统的系统函数，其全部极点和零点都必须位于 s 平面的左半平面。
- 在所有幅频特性相同的因果稳定 LTI 系统中，最小相位系统所引入的附加相移最小。
- 任何一个因果稳定 LTI 系统都等价于一个最小相位系统和一个全通系统的级联。

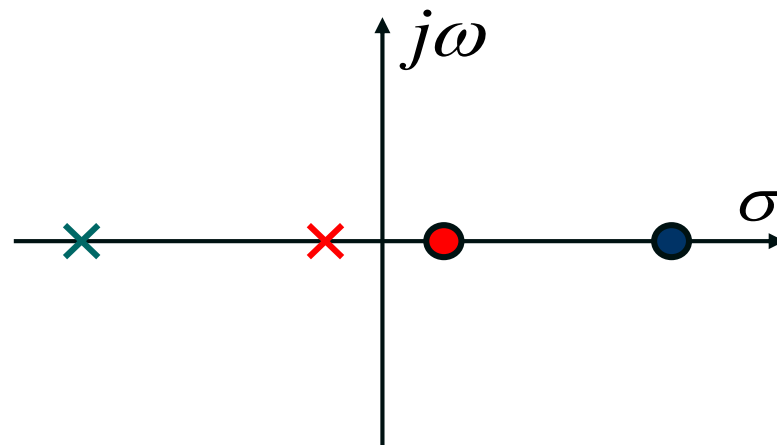
最小相位系统



非最小相位系统



最小相位系统



全通系统

内容提要

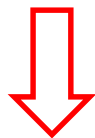


- ❖ 零极点图及其应用
- ❖ 系统函数与LTI系统的变换域分析
- ❖ LTI系统的方框图实现

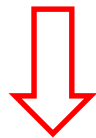
LTI系统的线性常系数微分方程描述



$$\sum_{k=0}^N a_k \frac{d^k y(t)}{dt^k} = \sum_{k=0}^M b_k \frac{d^k x(t)}{dt^k}$$



$$\sum_{k=0}^N a_k s^k Y(s) = \sum_{k=0}^M b_k s^k X(s)$$



$$Y(s) = H(s)X(s) \quad \Rightarrow \quad H(s) = \frac{\sum_{k=0}^M b_k s^k}{\sum_{k=0}^N a_k s^k}$$

仅根据微分方程，无法确定收敛域！

LTI系统的的互联与系统函数



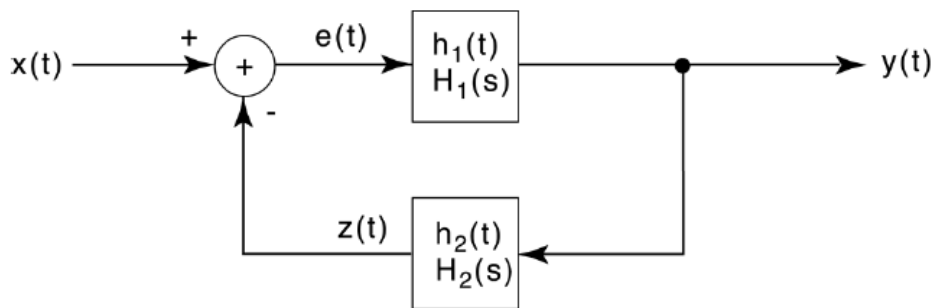
➤ 并联

$$H(s) = H_1(s) + H_2(s)$$

➤ 级联

$$H(s) = H_1(s)H_2(s)$$

➤ 反馈



ROC?

$$H(s) = \frac{H_1(s)}{1 + H_1(s)H_2(s)}$$

LTI系统的的互联与系统函数



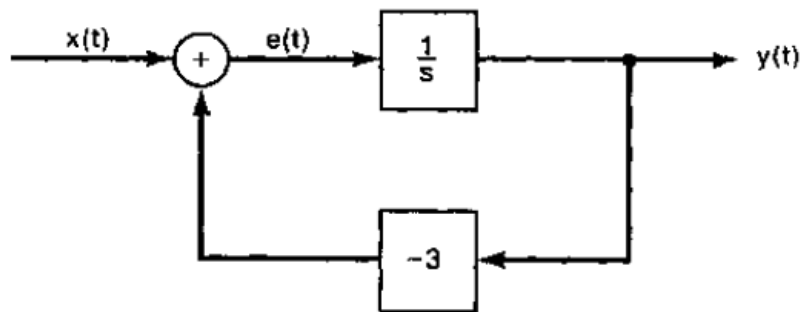
反馈系统举例：

$$H(s) = \frac{1}{s+3}, \quad \text{ROC: } \text{Re}\{s\} > -3$$

该系统可以用如下的微分方程来描述：

$$\frac{dy(t)}{dt} + 3y(t) = x(t)$$

系统方框图为：





LTI系统的方框图实现形式

考虑如下系统函数：

$$H(s) = \frac{2s^2 + 4s - 6}{s^2 + 3s + 2}$$

本例将研究该系统的三种实现方式。

第一种，直接型

将系统函数变形为：

$$H(s) = \frac{2s^2 + 4s - 6}{s^2 + 3s + 2} = \left(\frac{1}{s^2 + 3s + 2} \right) (2s^2 + 4s - 6)$$

定义：

$$W(s) = \frac{1}{s^2 + 3s + 2} X(s)$$

LTI系统的方框图实现形式



$$W(s) = \frac{1}{s^2 + 3s + 2} X(s)$$

描述该系统的微分方程为：

$$\frac{d^2 w(t)}{dt^2} + 3 \frac{dw(t)}{dt} + 2w(t) = x(t)$$

或者等效地：

$$\frac{d^2 w(t)}{dt^2} = x(t) - 3 \frac{dw(t)}{dt} - 2w(t)$$

类似地可以定义：

$$Y(s) = (2s^2 + 4s - 6)W(s)$$

LTI系统的方框图实现形式



描述该系统的微分方程为：

$$y(t) = 2\frac{d^2w(t)}{dt^2} + 4\frac{dw(t)}{dt} - 6w(t)$$

总结之前得到的结果，我们有：

$$\frac{d^2w(t)}{dt^2} = x(t) - 3\frac{dw(t)}{dt} - 2w(t)$$

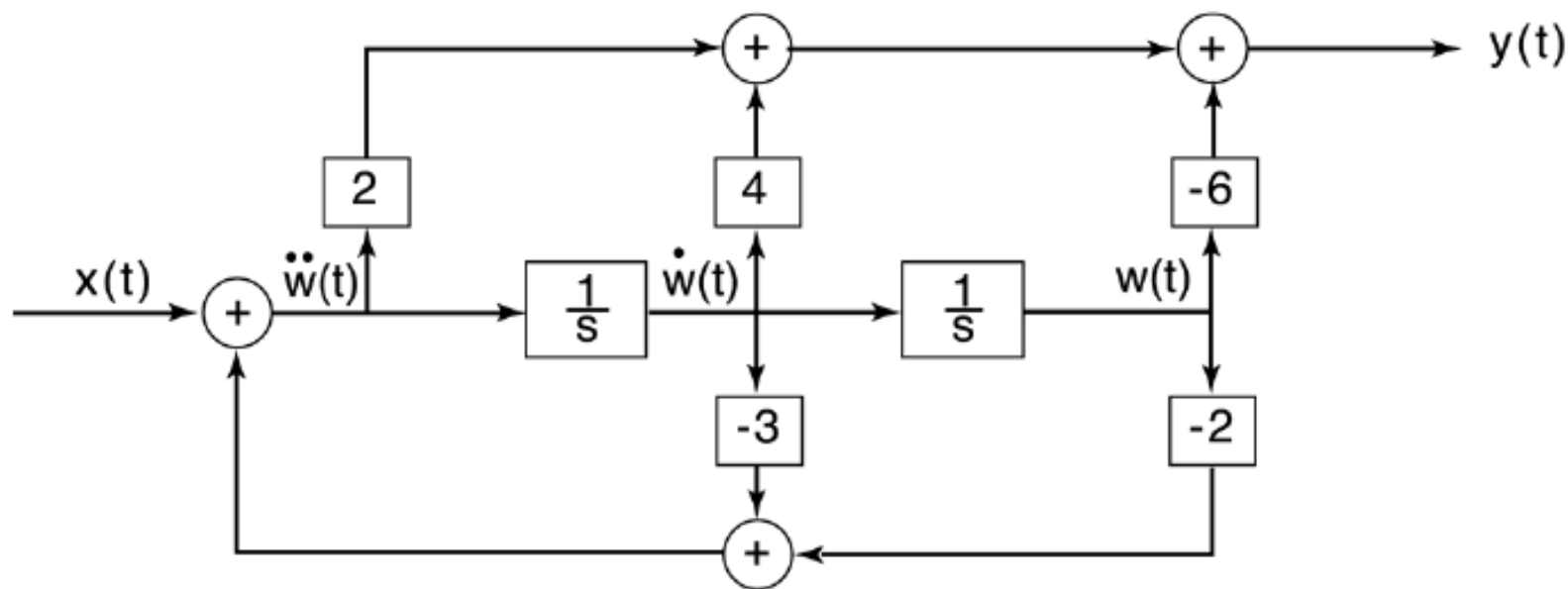
$$y(t) = 2\frac{d^2w(t)}{dt^2} + 4\frac{dw(t)}{dt} - 6w(t)$$

因此，系统的直接型方框图实现为：

LTI系统的方框图实现形式



$$y(t) = 2\frac{d^2w(t)}{dt^2} + 4\frac{dw(t)}{dt} - 6w(t)$$



$$\frac{d^2w(t)}{dt^2} = x(t) - 3\frac{dw(t)}{dt} - 2w(t)$$

$$H(s) = \frac{2s^2 + 4s - 6}{s^2 + 3s + 2}$$

LTI系统的方框图实现形式



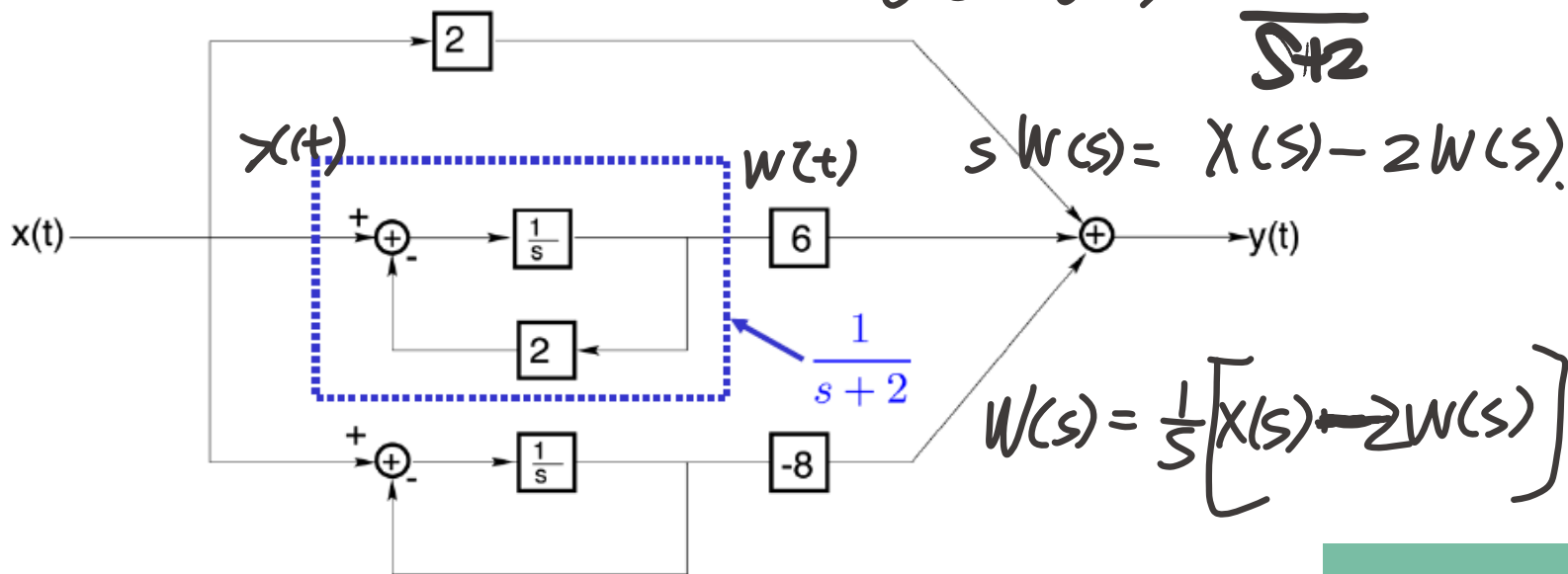
第二种， 并联型

将系统函数变形为：

$$H(s) = \left[\frac{2(s-1)}{s+2} \right] \left[\frac{s+3}{s+1} \right] \stackrel{PFE}{=} 2 + \frac{6}{s+2} - \frac{8}{s+1}$$

级联型如何实现？

所以，系统的并联型实现为 $6e^{-2t}u(t)$



LTI系统的方框图实现形式



➤ 对任何给定的有理系统函数，可以有多种不同的系统实现方案

➤ 具体选择何种方案需要考虑多个因素，例如：

常数乘法器的个数和积分器的个数

系统结构对有限精度运算的敏感度

设计的模块化、算法的可分割性、调试的便捷性

VLSI实现中芯片尺寸的要求



谢谢大家！